

# ДИАГРАММА СДВИГА ДЛЯ БЕТОНА

*Школа Ю.А.*

**Предложено аналитическое описание зависимости касательного напряжения от угловой деформации для бетона.**

Дальнейшее совершенствование расчета железобетонных конструкций требует использования моделей, основанных на реальных диаграммах деформирования материалов. В настоящее время достаточно подробно разработаны аналитические описания диаграмм деформирования бетона и арматуры для одноосного сжатия (растяжения) [1].

Учет пространственной работы рамных конструкций предполагает введение в расчет крутящих моментов. Однако, в данный момент отсутствуют обоснованные и подтвержденные экспериментальными данными аналитические зависимости между деформациями сдвига и касательными напряжениями. Разработка описания диаграмм деформирования материалов при сдвиге и использование их в расчетных моделях строительных конструкций позволит усовершенствовать расчет пространственных систем.

Для построения диаграммы зависимости касательного напряжения от угловой деформации используем гипотезу теории упругопластических деформаций, которая состоит в том, что интенсивность напряжений связана с интенсивностью деформаций одной и той же зависимостью для всех напряженных состояний.

Интенсивность напряжений и интенсивность деформаций для случая одноосного растяжения записывается следующим образом [2]:

$$\sigma_i = \sigma; \quad \varepsilon_i = \varepsilon \frac{1 - 2\mu}{3E} \quad (1)$$

где  $\sigma$ ,  $\varepsilon$  - нормальные напряжения и осевые деформации соответственно.

Интенсивность напряжений и интенсивность деформаций при чистом сдвиге можно найти из выражений:

$$\sigma_i = \sqrt{3}\tau; \quad \varepsilon_i = \gamma / \sqrt{3}, \quad (2)$$

где  $\tau$ ,  $\gamma$  - соответственно касательные напряжения и угловые деформации.

Применяя выше названную гипотезу из (1) и (2) можно найти формулу для определения модуля упругости при сдвиге:

$$G = \frac{\tau}{\gamma} = \frac{1}{3} \sigma \left( \varepsilon - \frac{1-2\mu}{3E} \sigma \right)^{-1}. \quad (3)$$

Диаграмма деформирования бетона при растяжении может быть представлена в виде [1]:

$$\varepsilon_b = \sigma_b / (E_b^0 \nu_b), \quad (4)$$

где  $\varepsilon_b$ ,  $\sigma_b$ ,  $E_b^0$  - относительные деформации, напряжения и начальный модуль упругости бетона;  $\nu_b$  - коэффициент изменения секущего модуля.

Используя зависимости (3) и (4), получим выражения для определения значения секущего модуля упругости при сдвиге:

$$G_b = 0,5 E_b^0 \nu_{bsh} / (1 + \mu), \quad (5)$$

откуда зависимость для диаграммы сдвига бетона:

$$\tau_b = \frac{E_b^0 \nu_{bsh}}{2(1 + \mu)} \gamma_b. \quad (6)$$

Коэффициент изменения секущего модуля  $\nu_{bsh}$  вычисляется по формуле [1]:

$$\nu_{bsh} = \hat{\nu}_{bsh} \pm (\nu_0 - \hat{\nu}_{bsh}) \sqrt{1 - \omega_1 \eta - \omega_2 \eta^2}, \quad (7)$$

в которой принимаются следующие значения параметров:

$$\begin{aligned} \hat{\tau}_b &= R_{b,sh}; \quad \eta = \tau_b / \hat{\tau}_b; \\ \hat{\nu}_{bsh} &= (0,6 + 0,15 R_{b,sh} / 25); \quad \omega_2 = 1 - \omega_1 \end{aligned} \quad (8)$$

где  $R_{b,sh} = 0,7 \sqrt{R_b R_{bt}}$  - прочность бетона на сдвиг [3].

Для восходящей ветви диаграммы

$$\nu_0 = 1; \quad \omega_1 = 2 - 2,5 \hat{\nu}_{bsh}; \quad (9)$$

для нисходящей ветви диаграммы

$$\nu_0 = 2,05 \hat{\nu}_{bsh}; \quad \omega_1 = 1,95 \hat{\nu}_{bsh} - 0,138; \quad (10)$$

Для определения параметра  $\nu_b$  через уровень деформаций можно использовать формулы аналогичные соответствующим для диаграммы одноосного растяжения [1]:

$$\text{где } \nu_{bsh} = p + \sqrt{p^2 + s}, \quad (11)$$

$$p = 0,5\hat{\nu}_{bsh} \left[ 2\hat{\nu}_{bsh}^2 - \omega_1 \eta_d (\nu_0 - \hat{\nu}_{bsh})^2 \right] \left[ \hat{\nu}_{bsh}^2 + \omega_2 \eta_d^2 (\nu_0 - \hat{\nu}_{bsh})^2 \right]^{-1} \quad (12)$$

$$s = \hat{\nu}_{bsh}^2 \left( \nu_0^2 - 2\hat{\nu}_{bsh} \right) \left[ \hat{\nu}_{bsh}^2 + \omega_2 \eta_d^2 (\nu_0 - \hat{\nu}_{bsh})^2 \right]^{-1}. \quad (13)$$

$$\eta_d = \gamma_b / \hat{\gamma}_b; \quad \hat{\gamma}_b = 0,5\gamma_b / E_b^0 \hat{\nu}_b (1 + \mu). \quad (14)$$

Диаграммы сдвига для бетонов различных классов, построенные по предложенной методике, приведены на рис. 1.

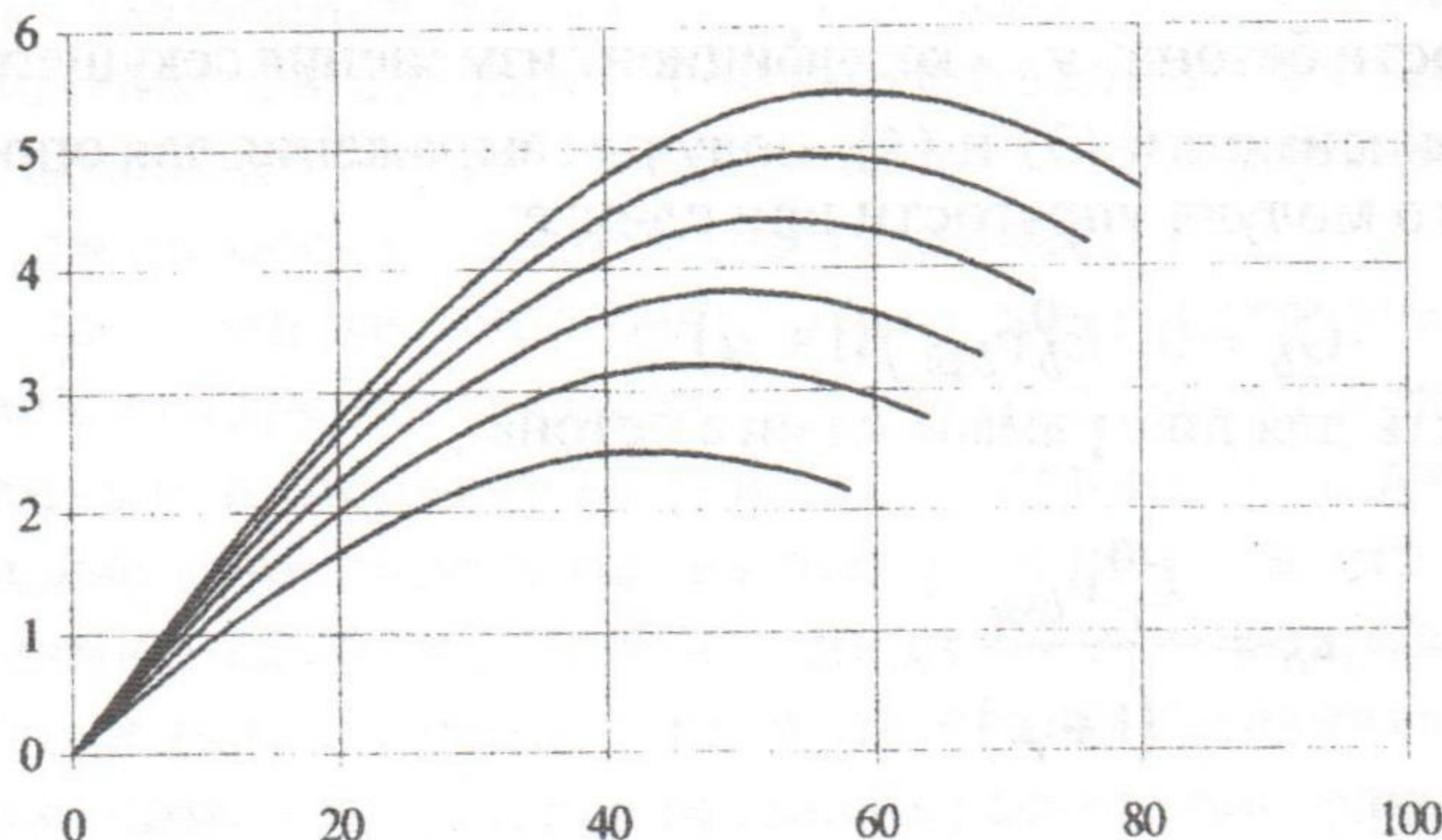


Рис. 1. Диаграмма сдвига бетона.

Формулы для построения диаграммы сдвига бетона выведены теоретически и требуют экспериментального подтверждения.

Возможность применения диаграммы сдвига для расчета железобетонных элементов пространственных конструкций, подверженных воздействию изгибающих, крутящего моментов и осевой силы показана в [4].

### Литература

1. Карпенко Н.И. Общие модели механики железобетона.- М.: Стройиздат, 1996.- 416 с.
2. Малинин Н.Н. Прикладная теория пластичности и ползучести. М.: «Машиностроение», 1968. – 400 с.
3. Байков В.Н., Сигалов Э.Е. Железобетонные конструкции. Общий курс. 4-е изд.. перераб. М., 1985.
4. Яременко А.Ф., Школа Ю.А. Расчет железобетонных балок прямоугольного поперечного сечения при действии продольной силы, изгиба и кручения. // В сб. Ресурсоэкономні матеріали, конструкції, будівлі та споруди., Вип. 3., Ровно, 1999. с. 301-305.